

ROBOTIRÁNYÍTÁS

8. előadás

Empirikus szabályzótervezés, a P és PI szabályozás

Dr. habil. Kovács Levente
egyetemi docens

kovacs.levente@nik.uni-obuda.hu

Dr. Haidegger Tamás
egyetemi adjunktus

haidegger@irob.uni-obuda.hu



Élettani
Szabályozások
Csoport
Óbudai Egyetem

Az előadás témája és célja

Az eddig ismertetett irányítástechnikai alapfogalmak, rendszeranalízisek mind arra szolgáltak, hogy szabályozási vagy másképpen irányítási rendszereket tudjunk tervezni. Ideális esetben a szabályozandó rendszernek a matematikai modellje rendelkezésünkre áll, ekkor ebből kiindulva tudunk szabályozót tervezni. Ha azonban a modell nem áll rendelkezésünkre, vagy – a történeti okokra is gondolva – nincs számítógépes támogatásunk, a rendszert azonban mégis irányítani szeretnénk, olyan egyszerű számításokat alkalmazó, tapasztalati úton kifejlesztett irányításokat alkalmazhatunk, mint az empirikus szabályozások. Ezeknek két nagy csoportjával foglalkozunk az előadásban: a Ziegler-Nichols és a Kessler módszerekkel.

Az előadás célja, hogy a hallgatók képessé váljanak önállóan empirikus P és PI szabályozók tervezésére.

Kulcsszavak

empirikus szabályozás, P szabályozó, PI szabályozó, holtidő, Ziegler-Nichols stabilitás határának elérésén alapuló szabályozás, Ziegler-Nichols kísérleti identifikáción alapuló szabályozás, Kessler modulusz kritérium, Kessler szimmetrikus kritérium, kis időállandók tétele

Tartalomjegyzék

| | |
|---|----|
| 1. Szabályozások..... | 4 |
| 1.1. Empirikus szabályozás | 4 |
| 1.2. P szabályozó tulajdonságai | 4 |
| 1.3. PI szabályozó tulajdonságai | 5 |
| 2. Ziegler-Nichols módszer | 5 |
| 2.1. Stabilitás határának elérésén alapuló szabályozás..... | 6 |
| 2.1.1. Példa: PI szabályozó tervezése Ziegler-Nichols stabilitás határának elérésén alapuló szabályozási módszerrel..... | 6 |
| 2.2. Kísérleti identifikáción alapuló szabályozás | 9 |
| 2.2.1. Példa: PI szabályozó tervezése Ziegler-Nichols kísérleti identifikáción alapuló szabályozási módszerrel..... | 10 |
| 3. Kessler módszer..... | 13 |
| 3.1. Modulusz kritérium | 13 |
| 3.1.1. Példa: PI szabályozó tervezése Kessler módszer modulusz kritériuma alapján | 14 |
| 3.2. Szimmetrikus kritérium | 15 |

1. Szabályozások

1.1. Empirikus szabályozás

Manapság az iparban használt szabályozóknak több, mint a fele PID szabályozó. Korábban ezen szabályozók többsége analóg volt, azonban ma már ezen szabályozók digitálisak.

Amikor **a rendszer matematikai modellje elérhető**, a szabályozó paraméterei expliciten meghatározhatóak.

Amikor **a rendszer matematikai modellje nem érhető el**, két lehetőség adódik. Ha a paramétereket kísérleti úton határozzuk meg, akkor *empirikus szabályozó tervezésről* beszélünk. Ebben az esetben a kívánt kimenet elérése érdekében kell hangolni a szabályozó paramétereit. A másik lehetőség egy matematikai modell készítése, ekkor *modell identifikációról* beszélünk.

1.2. P szabályozó tulajdonságai

A P szabályozó átviteli függvénye:

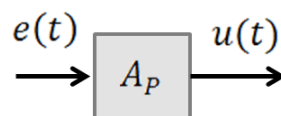
$$W_P(s) = A_P. \quad (1)$$

A szabályozónak tehát egyetlen paramétere van, az erősítés: $A_P > 0$.

A szabályzó **nem változtatja meg** a felnyitott kör átviteli függvényének *típuszámát* és *fázismenetét*. **Megváltoztatja** viszont a *körerősítést*, amit A_P -szeresére módosít. A körerősítése növelésének következtében

- a vágási frekvencia nő,
- a fázistartalék csökken, és
- a stabilitás határa felé haladunk.

A P szabályozó blokkdiagramját az 1. ábra mutatja.



1. ábra: A P szabályozó blokkdiagramja

1.3. PI szabályozó tulajdonságai

A PI szabályozó átviteli függvénye:

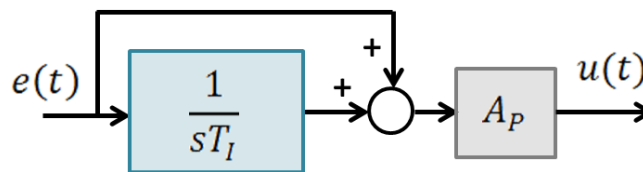
$$W_{PI}(s) = A_P \left(1 + \frac{1}{sT_I} \right) = \frac{A_P}{T_I} + \frac{1 + sT_I}{s} \quad (2)$$

A szabályozónak két paramétere van, az erősítés: $A_P > 0$ és az integrálási idő (integrátor időállandója): $T_I > 0$.

A szabályzó **megváltoztatja**:

- a *körerősítést*, melyet $\frac{A_P}{T_I}$ -szerezésre módosít,
- a szabályozási kör *típuszámát* 1-el növeli,
- a felnyitott körben *új zérus* jelenik meg: $-\frac{1}{T_I}$,
- a felnyitott kör *fázismenetét* $\frac{1}{T_I}$ frekvenciánál kisebb értékeknél -90° -al csökkenti, annál nagyobb frekvenciáknál (közelítőleg) változatlanul hagyja

A PI szabályozó blokkdiagramját a 2. ábra mutatja.



2. ábra: A PI szabályozó blokkdiagramja

2. Ziegler-Nichols módszer

Az 1940-es években Ziegler és Nichols két empirikus módszert dolgozott ki szabályozók paramétereinek meghatározására.

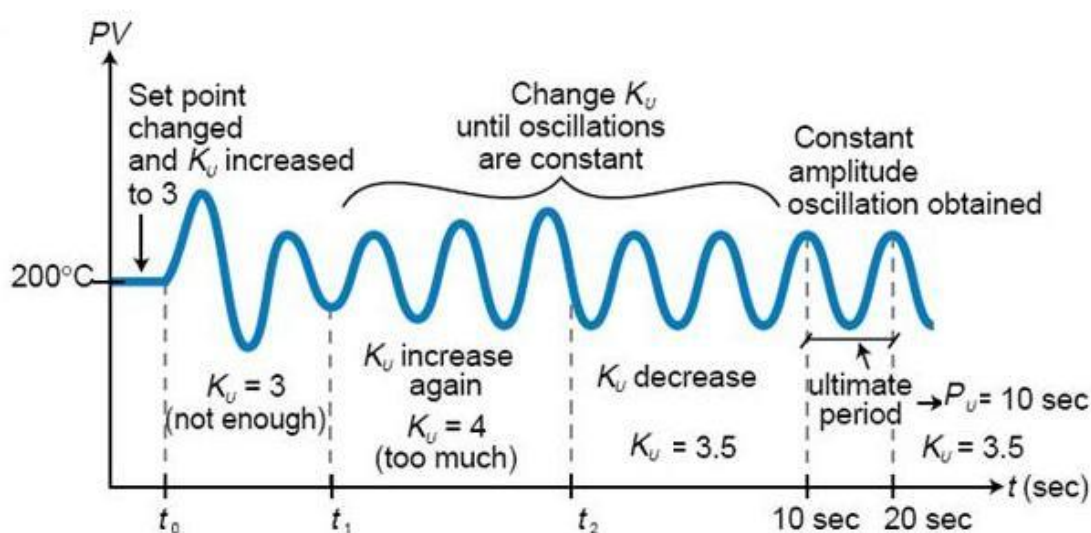
A módszerek jellemzői:

- *nem elsőfokú rendszerekre* lett kifejlesztve
- a rendszerek *tartalmazznak holtidőt*
- a tervezés számos manuális számítást tartalmaz

Az egyre fejlettebb optimalizáló szoftverek megjelenésével az ilyen manuális számításokat alkalmazó módszertanokat már nem igen használják. Számítógépes támogatással azonban a módszerek alkalmazhatók.

2.1. Stabilitás határának elérésén alapuló szabályozás

A **stabilitás határán lévő rendszer erősítésének (K_u) megtalálásához** egyetlen P erősítést használva keressük meg azt az erősítés értéket, amelynek hatására a rendszer *oszcillál*. Ennek megtalálásához az I és a D tagok erősítése nullára van állítva, így csak a P tag érvényesül. A másik paraméter, amely a csak P tagot tartalmazó szabályozásból meghatározható, a stabilitás határán lévő rendszer **lengési periódusa, P_u** , mely az az idő, amely ahhoz kell, hogy egy teljes oszcillációt elvégezzen a rendszer az állandósult állapotban. A szabályozás elméleti hátterének logikáját a 3. ábrán lévő példa illusztrálja. Ezen két paraméter (K_u és P_u) segítségével a szabályozó paraméterei (A_P , T_I) számíthatók, a számítások az 1. táblázat alapján végezhetők el.



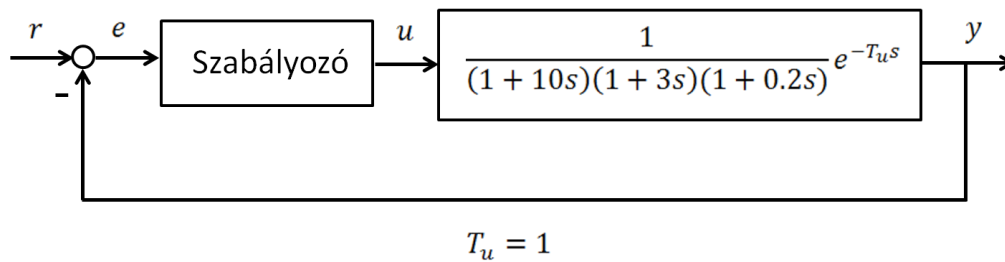
3. ábra: A Ziegler-Nichols stabilitás határának elérésén alapuló szabályozás elméleti háttere

| Szabályozó típusa | A szabályozó paraméterei | | |
|-------------------|--------------------------|------------|-------|
| | A_P | T_I | T_D |
| P | $0.5 K_u$ | – | – |
| PI | $0.45 K_u$ | $0.85 P_u$ | – |

1. táblázat: Segéd táblázat a Ziegler-Nichols stabilitás határának elérésén alapuló szabályozás tervezéséhez

2.1.1. Példa: PI szabályozó tervezése Ziegler-Nichols stabilitás határának elérésén alapuló szabályozási módszerrel

Tervezzünk PI szabályozót a Ziegler-Nichols stabilitás határának elérésén alapuló szabályozási módszerrel a 4. ábrán látható rendszerhez!

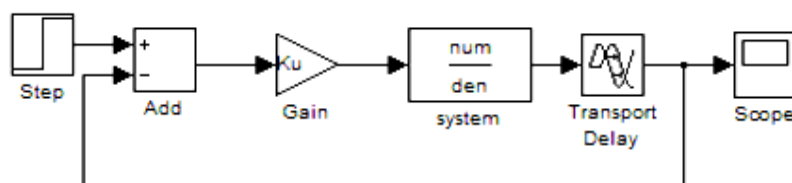


4. ábra: PI szabályozó tervezése a Ziegler-Nichols stabilitás határának elérésén alapuló szabályozási módszerrel

1. A stabilitás határán lévő rendszer (erősítés) megtalálása

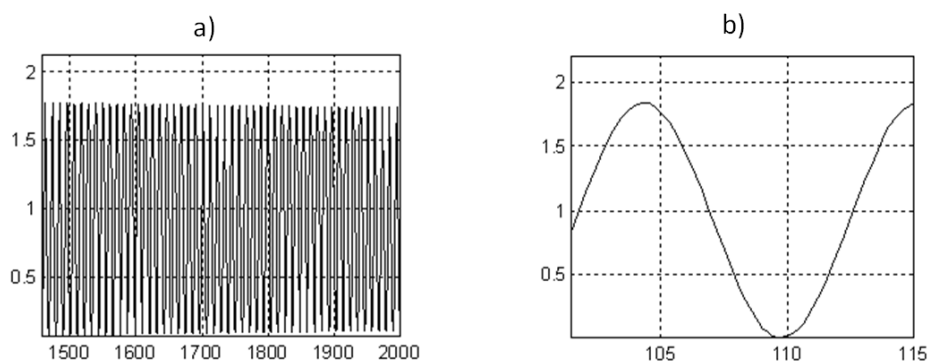
Először hozzuk létre a 4. ábrán látható rendszert Simulink alatt úgy (5. ábra), hogy a szabályozó csak egyetlen P tagból (tehát egy erősítésből, *gain*) áll. Az erősítés értékét először állítsuk $K = 1$ -re és figyeljük a rendszer kimenetét (*scope*-ot).

1. **Ha a rendszer stabil**, azaz az ugrásválasz lecseng és a rendszer állandósult állapotba kerül, akkor *növeljük a K -t*.
2. **Ha a rendszer instabil**, azaz az ugrásválasz elszáll, akkor *csökkentsük a K -t*.



5. ábra: A stabilitás határán lévő erősítés megtalálásához szükséges rendszer implementációja Simulinkben

Ennek eredményeképpen meg kell kapnunk azt az állapotot, amikor a **rendszer a stabilitás határán van**, azaz *oszcillál*. Ekkor a scope-on a 6. ábra a) részéhez hasonlólt fogunk látni, az ehhez tartozó K erősítés tehát a keresett K_u . Ezt kinagyítva (6. ábra b) rész) a stabilitás határán lévő rendszer lengési periódusa, P_u is leolvasható. A példánkban $K_u = 11,86$, míg $P_u = 11$.



6. ábra: A stabilitás határán lévő rendszer erősítésének (K_u) és lengési periódusának (P_u) leolvasása

2. PI szabályozó tervezés

A megtalált K_u és P_u értékek ismeretében az 1. táblázat 2. sorát kell figyelembe venni, lévén, hogy PI szabályozót tervezünk. Számítsuk ki először a szabályozó paramétereit (A_P , T_I):

$$K_u = 11,86 \Rightarrow A_P = 0,45 K_u = 0,45 \cdot 11,86 = 5,337 \quad (3)$$

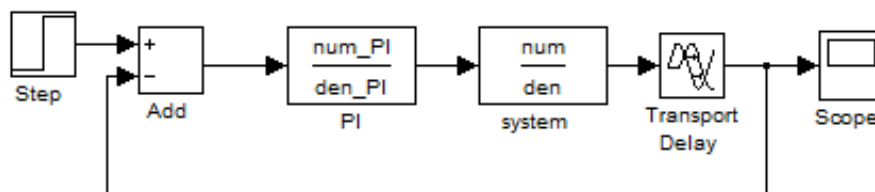
$$P_u = 11 \Rightarrow T_I = 0.85 P_u = 0.85 \cdot 11 = 9.35 \quad (4)$$

Ezután már számítható a szabályozó átviteli függvénye:

$$W_{PI}(s) = A_P \left(1 + \frac{1}{sT_I} \right) = 5,337 \cdot \left(1 + \frac{1}{9,35s} \right) = \frac{49,9s + 5,337}{9,35s} \quad (5)$$

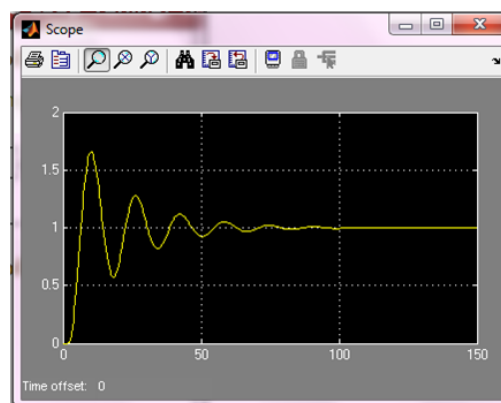
3. PI szabályozó tervezés – megvalósítás Simulink alatt

Ezek fényében az 5. ábrán látható Simulink implementáció úgy módosul, hogy a gain helyére bekerül a megtervezett, (5) egyenletben számított átviteli függvényű szabályozó (7. ábra).



7. ábra: Ziegler-Nichols stabilitás határának elérésén alapuló szabályozási módszerrel megtervezett PI szabályozó implementálása Simulinkben

A szabályozás eredménye a scope kimentén látható (8. ábra). Az első és legfontosabb megállapításunk, hogy a rendszer stabil, hiszen az ugrásválaszon megfigyelhető az állandósult állapot. Az ugrásválasz paramétereit a szabályozás minőségéről adnak tájékoztatást: a szabályozási idő $t_s = 100 \text{ sec}$, a túllövési idő $t_1 = 9 \text{ sec}$, míg a túllövés $\sigma_1 = 65\%$.



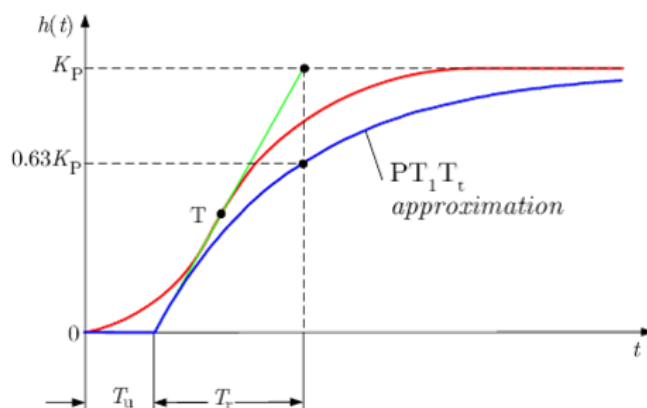
8. ábra: Ziegler-Nichols stabilitás határának elérésén alapuló PI szabályozás eredménye

2.2. Kísérleti identifikáción alapuló szabályozás

A gyakorlatban számos ipari folyamat ugrásválasza mutat tiszta aperiodikus viselkedést, ez az S-alakú görbe általában a magasabb rendű rendszerekre jellemző (9. ábra piros görbéje). A magasabb rendű rendszert szeretnénk közelíteni egy elsőfokú, holtidős rendszerrel (9. ábra kék görbe), melynek az átviteli függvénye *általános alakban*

$$W_P = \frac{K_P}{1 + T_S} e^{-T_t s} . \quad (6)$$

Ahhoz, hogy a (6) egyenletnek megfelelő átviteli függvényű rendszer paramétereinek értékeit meghatározzuk, az eredeti rendszer ugrásválaszához (9. ábra piros görbéje) a T inflexiós pontban tangenst szerkesztünk (9. ábra zöld érintője). Ez a tangensvonal kijelöli számunkra a szükséges paramétereket. A (6) egyenlet K_P erősítése az eredeti rendszer erősítése, azaz állandósult állapotbeli értéke. A (6) egyenlet holtidejének időállandóját (T_t) úgy számítjuk, hogy megnézzük, hol metszi a tangensvonal az időtengelyt, és a 0. időponttól eddig az időpontig terjedő szakaszt választjuk ki, ez lesz a közelítő rendszer T_u holtideje. Végül a (6) egyenlet pólusának T időállandójának azt a T_r felfutási időt választjuk meg, amelyet a tangens vonal kijelöl az időtengelyen az időtengely és a K_P konstans értékének metszésével.



9. ábra: A Ziegler-Nichols kísérleti identifikáción alapuló szabályozás elméleti háttere

Így tehát a közelítő elsőfokú, holtidős rendszer az eredeti rendszer ugrásválaszból leolvasott *konkrét paraméterekkel*:

$$W_P = \frac{K_P}{1 + T_r s} e^{-T_u s} . \quad (7)$$

Ezen három paraméter (K_P, T_u, T_r) segítségével a szabályozó paraméterei (A_P, T_I) számíthatók, a számítások a 2. táblázat alapján végezhetők el. A táblázatban szereplő ρ segédváltozó a *relatív holtidő*, $\rho = \frac{T_u}{T_r}$. Fontos megjegyezni, hogy – szemben a stabilitás határának elérésén alapuló szabályozással (1. táblázat) – itt nem egyenletek, hanem

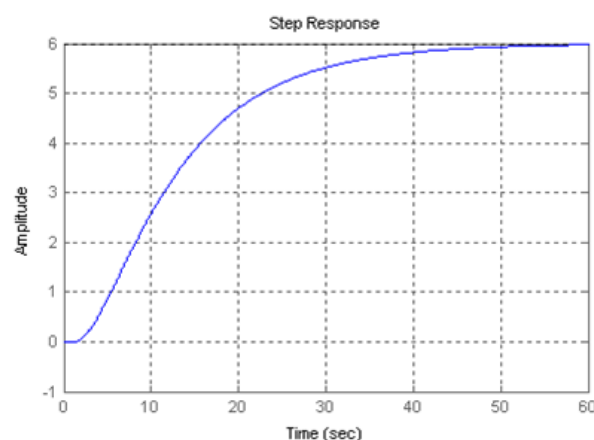
egyenlőtlenségek alakjában vannak megadva a táblázatban szereplő értékek. Következésképpen, ha a táblázatban szereplő értékkel tervezett szabályozó nem működik, próbáljunk meg kisebb értékkel számolni (pl. PI esetén 0,7-tel 0,9 helyett).

| Szabályozó típusa | A szabályozó paraméterei | | |
|-------------------|----------------------------|---------|-------|
| | $A_p \cdot K_p \cdot \rho$ | T_I | T_D |
| P | ≤ 1 | - | - |
| PI | ≤ 0.9 | $3 T_u$ | - |

2. táblázat: Segéd táblázat a Ziegler-Nichols kísérleti identifikáción alapuló szabályozás tervezéséhez

2.2.1. Példa: PI szabályozó tervezése Ziegler-Nichols kísérleti identifikáción alapuló szabályozási módszerrel

Tervezzünk PI szabályozót a Ziegler-Nichols kísérleti identifikáción alapuló szabályozási módszerrel a 10. ábrán látható ugrásválasszal reprezentált rendszerhez!



10. ábra: Ugrásválasszával reprezentált szabályozandó rendszer

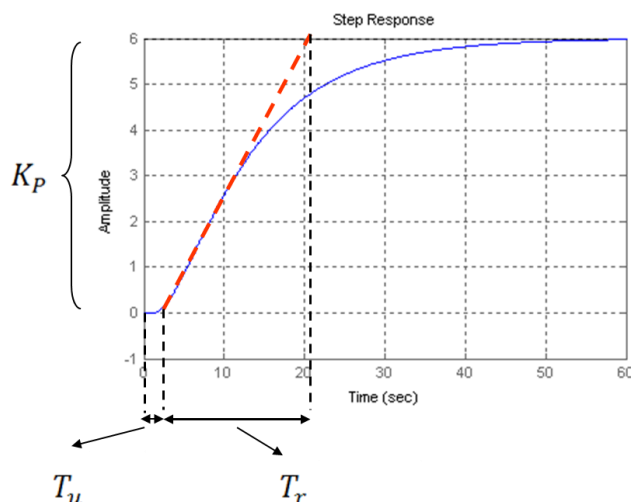
Először is itt hadd hívjuk fel a figyelmet a két Ziegler-Nichols módszer közötti különbségre. A stabilitás határának elérésén alapuló szabályozás esetén feltételezzük, hogy a rendszer átviteli függvényét ismerjük és a rendszerre vizsgálójelet tudunk adni a K erősítés függvényében (5. ábra), tehát bele tudunk avatkozni a rendszerbe és nem is akárhogyan! A rendszert a stabilitás határára szeretnénk irányítani, ami – ha belegondolunk – igen kockázatos vállalkozás, különösen, ha kritikus rendszerről van szó, mint például egy sebészrobot vagy egy repülő irányító robotpilóta. Egyértelmű, hogy ilyen esetekben ez a módszer nem használható. Mindemellett az sem mindig garantált, hogy ismerjük a rendszer átviteli függvényét. Ellenben, ha rendelkezésünkre áll a rendszer ugrásválasza (vagy mi

magunk le tudjuk mérni), akkor ebből a grafikus időfüggvényből kiindulva elvégezhetjük a szükséges számításokat a szabályozótervezéshez: ez a kísérleti identifikáción alapuló módszer.

Jelen esetben tehát a 10. ábrán látható ugrásválaszunk van. Nincs meg a szakasz átviteli függvénye, csupán ez az ugrásválasz, így első lépésként a szakaszunkat kell közelíteni.

1. Szabályozandó szakasz meghatározása/közelítése

Célunk a (7) egyenletben szereplő átviteli függvény felírása a megadott ugrásválasz alapján. Ehhez szerkesszük meg a görbe tangensét és olvassuk le a megfelelő paramétereket (11. ábra).



11. ábra: Ugrásválaszával reprezentált szabályozandó rendszer paramétereinek számítása

A szakasz erősítése $K_p = 6$, holtideje $T_u = 3$, felfutási ideje pedig $T_r = 18$. Vegyük észre, hogy a tangens megszerkesztése az erősítésen kívül mind a két időállandót befolyásolja, így kulcsfontosságú (ha a számítások végén a szabályozó nem működik, érdemes lehet új tangensillesztéssel próbálkozni). Ezek fényében a szakaszunk átviteli függvénye:

$$W_P(s) = \frac{K_p}{1 + T_r s} e^{-T_u s} = \frac{6}{1 + 18s} e^{-3s} \quad (8)$$

2. PI szabályozó tervezés

A megtalált K_p , T_u és T_r értékek ismeretében a 2. táblázat 2. sorát kell figyelembe venni, lévén, hogy PI szabályozót tervezünk. Számítsuk ki először a relatív holtidőt (ρ):

$$\rho = \frac{T_u}{T_r} = \frac{3}{18} = \frac{1}{6} \quad (9)$$

A szabályozó integrátorának időállandója egy egyenlőséggel számítható:

$$T_I = 3T_u = 3 \cdot 3 = 9 \quad (10)$$

Végezetül a szabályozó A_P paraméterére egy egyenlőtlenséget tudunk felírni.

$$A_P \cdot K_P \cdot \rho \leq 0,9 \quad (11)$$

Tekintsük azt a speciális esetet, amikor éppen az egyenlőség teljesül:

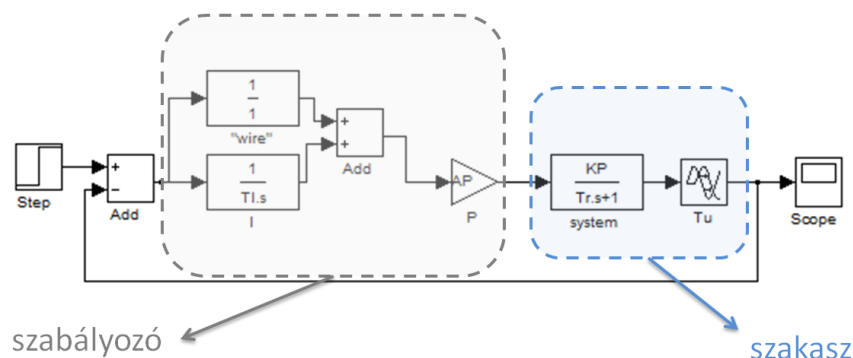
$$A_P \leq \frac{0,9}{6 \cdot \frac{1}{6}} = 0,9 \quad (12)$$

Ezután már számítható a szabályozó átviteli függvénye:

$$W_{PI}(s) = A_P \left(1 + \frac{1}{sT_I} \right) = 0,9 \cdot \left(1 + \frac{1}{9s} \right) = \frac{9s + 1}{10s} \quad (13)$$

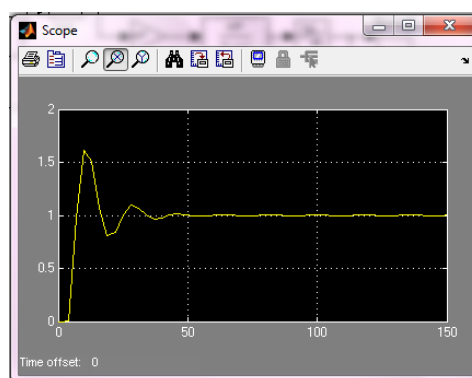
3. PI szabályozó tervezés – megvalósítás Simulink alatt

Végezetül implementáljuk a szabályozónkat Simunkben (12. ábra). Ebben az esetben az implementációt úgy végeztük el, hogy a PI szabályozót nem egyetlen átviteli függvénnyel adtuk meg, hanem külön implementáltuk tagonként.



12. ábra: Ziegler-Nichols kísérleti identifikáción alapuló szabályozási módszerrel megtervezett PI szabályozó implementálása Simulinkben

A szabályozás eredménye a scope kimentén látható (13. ábra). Az ugrásválasz paramétereit: a szabályozási idő $t_s = 50 \text{ sec}$, a túllövési idő $t_1 = 10 \text{ sec}$, míg a túllövés $\sigma_1 = 60\%$.



13. ábra: Ziegler-Nichols kísérleti identifikáción alapuló PI szabályozás eredménye

3. Kessler módszer

A Kessler módszer alkalmazásának feltétele, hogy a rendszer ne tartalmazzon holtidőt (ha igen, akkor közelíteni kell). További feltétel, hogy a folyamat átviteli függvénye relatív egyszerű legyen és a rendszer paraméterei ne változzanak túlzottan. Ezek fényében nem meglepő, hogy az elérhető minőségi követelmények relatív adottak.

A tervezéshez fel fogjuk használni a **kis időállandók tételét**. Ennek lényege, hogy egy átviteli függvény kis időállandós tagjai helyettesíthetők egyetlen taggal, a kis időállandók összegével (vagy a legkisebb időállandóval):

$$T_{\Sigma} = \sum_n T_n \quad (14)$$

Ennek segítségével a rendszer leírására alacsonyrendű modell használható.

A Kessler módszer két különböző típust tartalmaz, melyek használata között a szabályozandó szakasz bizonyos tulajdonsága alapján kell döntenünk. Ez a tulajdonság a szabad integrátor megléte vagy hiánya, azaz meg kell vizsgálnunk, hogy a szabályozandó folyamat nevezőjében található-e egy időállandó nélküli, „szabad” s tag.

- A **szimmetrikus kritériumot** kell használnunk, ha a folyamat *tartalmaz egy (szabad) integrátort*, pl. $W = \frac{K_P}{s(1+sT_{\Sigma})}$.
- A **modulusz kritériumot** kell használnunk, ha a folyamat *nem tartalmaz (szabad) integrátort*, pl. $W = \frac{K_P}{(1+sT_{\Sigma})}$.

3.1. Modulusz kritérium

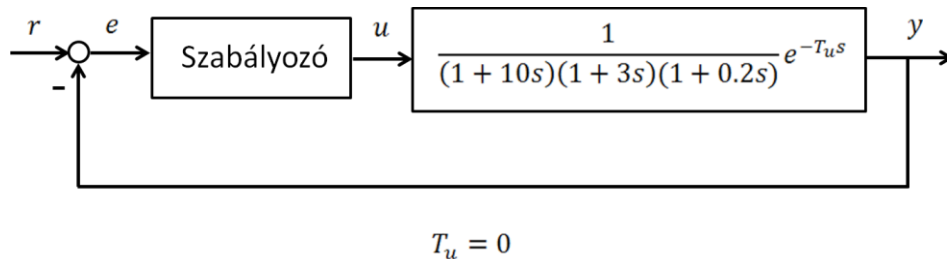
A Kessler módszer modulusz kritériuma alapján történő szabályozástervezés a 3. táblázat alapján történik.

| Folyamat $W_p(s)$ | Szabályozó típusa | Paraméterek relációi | Megjegyzés |
|---|--|--|---|
| $\frac{K_P}{1+sT_{\Sigma}}$ | $\frac{K_R}{s}$ or $\left(\frac{1}{sT_i}\right)$ I | $K_R = \frac{1}{2K_P T_{\Sigma}}$ | $t_s = 8,4 T_{\Sigma}$ |
| $\frac{K_P}{(1+s \cdot T_1)(1+s \cdot T_2)}$ $T_1 > T_2$ | $\frac{K_R}{s}(1+s \cdot T_i)$ PI | $K_R = \frac{1}{2K_P T_{\Sigma}}$ $T_i = T_1$ | $t_1 = 4,7 T_{\Sigma}$ $\sigma_1 = 4,3 \%$ |

3. táblázat: Segéd táblázat a Kessler módszer modulusz kritériumán alapuló szabályozás tervezéséhez

3.1.1. Példa: PI szabályozó tervezése Kessler módszer modulusz kritériuma alapján

Tervezzünk PI szabályozót a Kessler módszer modulusz kritériuma alapján a 14. ábrán látható rendszerhez!



14. ábra: PI szabályozó tervezése Kessler módszer modulusz kritériuma alapján

1. PI szabályozó tervezés

A 3. táblázat 2. sora értelmében a folyamatunknak egy másodrendű rendszernek kellene lennie, azonban a példában harmadrendű rendszerünk van. Amit tehetünk, hogy a szabályozást alkalmazhassuk, hogy használjuk a kis időállandók tételét.

Az eredeti harmadrendű rendszerünk tehát

$$W_P = \frac{1}{(1 + 10s)(1 + 3s)(1 + 0.2s)}, \quad (15)$$

ahol három időállandó van. A legnagyobb időállandót meghagyjuk, hiszen ez befolyásolja dominánsan a szakasz viselkedését:

$$T_i = T_1 = 10 \quad (16)$$

A két kis időállandót viszont összevonjuk:

$$T_\Sigma = T_2 + T_3 = 3 + 0,2 = 3,2 \quad (17)$$

Végezetül a szakaszból adódóan

$$K_P = 1 \quad (18)$$

A szabályozó átviteli függvényének számításához szükségünk van a K_R paraméterre:

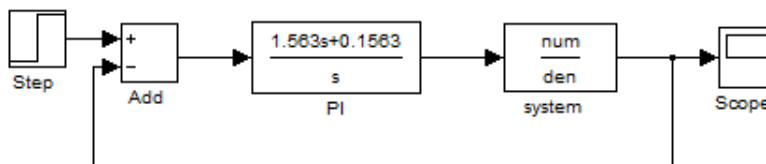
$$K_R = \frac{1}{2K_P T_\Sigma} = \frac{1}{2 \cdot 1 \cdot 3,2} = 0,156 \quad (19)$$

Ezután már számítható a szabályozó átviteli függvénye:

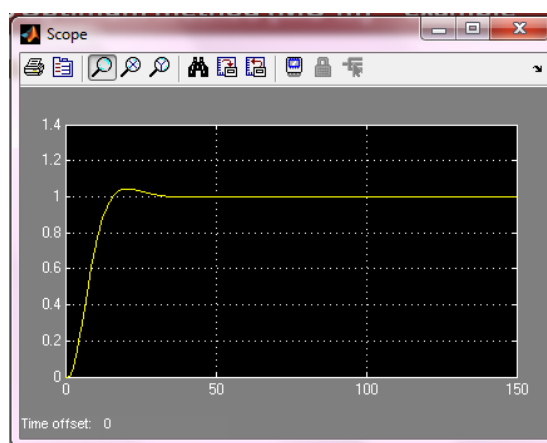
$$W_{PI}(s) = \frac{K_R}{s} (1 + sT_i) = \frac{0,156}{s} (1 + 10s) = \frac{1,56s + 0,156}{s} \quad (20)$$

2. PI szabályozó tervezés – megvalósítás Simulink alatt

A szabályozó implementálását Simulinkben a 15. ábra, a szabályozás kimenetét pedig a 16. ábra mutatja. Az ugrásválasz paramétereit: a szabályozási idő $t_s = 27 \text{ sec}$, a túllövési idő $t_1 = 25 \text{ sec}$, míg a túllövés $\sigma_1 = 4,3\%$.



15. ábra: A Kessler módszer modulusz kritériuma alapján megtervezett PI szabályozó implementálása Simulinkben



16. ábra: A Kessler módszer modulusz kritériuma alapján megtervezett PI szabályozás eredménye

3.2. Szimmetrikus kritérium

A Kessler módszer szimmetrikus kritériuma alapján történő szabályozástervezés a 4. táblázat alapján történik.

| Folyamat $T_1 > T_\Sigma$ | Szabályozó típusa | Paraméterek relációi | Észrevé- tel |
|--------------------------------|---|--|---|
| $\frac{K_P}{s(1 + sT_\Sigma)}$ | $\frac{K_R}{s}(1 + sT_r)$ $K_R = \frac{K_r}{T_r}$ PI | $K_R = \frac{1}{8T_\Sigma^2 K_P}$ $T_r = 4T_\Sigma$ | $t_s = 16,5 T_\Sigma$ $t_1 = 3,1 T_\Sigma$ $\sigma_1 = 43,4 \%$ |

4. táblázat: Segéd táblázat a Kessler módszer szimmetrikus kritériumán alapuló szabályozás tervezéséhez

A szabályozó tervezése a korábbi példákéhoz hasonlóan történik.

Az előadás összefoglalása

Az előadáson az empirikus, tehát tapasztalati úton kifejlesztett szabályozások két csoportjával foglalkoztunk: a Ziegler-Nichols és a Kessler módszerekkel. Az alapvető különbség közöttük az, hogy Ziegler-Nichols módszerekkel szabályozott rendszerek tartalmazhatnak holtidőt, míg a Kessler módszer ezt nem engedi meg. Ha mégis Kessler módszert szeretnénk alkalmazni holtidős rendszerek esetén, akkor előbb a holtidőt egy megfelelő átviteli függvénnyel közelíteni kell.

A Ziegler-Nichols módszernek két típusával foglalkoztunk. A stabilitás határának elérésén alapuló szabályozás esetén feltételeztük, hogy a rendszer átviteli függvényét ismerjük és a rendszerre vizsgálójelet tudunk adni. Itt külön megemlítettük, hogy kritikus rendszerek esetén nem alkalmazható a módszer. Ha azonban nem ismerjük a rendszer átviteli függvényét, de rendelkezésünkre áll a rendszer ugrásválasza (vagy mi magunk le tudjuk mérni), akkor alkalmazhatjuk a kísérleti identifikáción alapuló módszer.

A Kessler módszer esetén szintén két különböző típust különböztettünk meg az alapján, hogy a szabályozandó szakasz tartalmaz-e szabad integrátort. Ha tartalmaz, szimmetrikus kritériumot kell használnunk, ha nem tartalmaz szabad integrátort, akkor viszont a modulusz kritériumot kell használnunk.

Ellenőrző kérdések

1. Mi a Ziegler-Nichols stabilitás határának elérésén alapuló szabályozás lényege?
2. Mi a Ziegler-Nichols kísérleti identifikáción alapuló szabályozás lényege?
3. A Kessler módszer milyen rendszerek esetén alkalmazható? Mi van, ha nem teljesül a feltétel?
4. Mi a kis időállandók tétele, hol alkalmazzuk?
5. Mikor alkalmazzuk a Kessler szimmetrikus kritériumot, és mikor a modulusz kritériumot?